

九州大学工学部 正員 粟谷陽一
九州工業大学 正員 ○藤崎一裕

1. まえがき

流速分布をもつ流れの中に投入された物質は、乱流混合以外に速度差にもとづく伸長効果をうける。この現象(拡散または移流分散ともよばれ、通常の乱流拡散に比べてその分散効果は著しく大きい)この種の分散現象は、物質の保存式を用いて、厳密に解析することができる。しかし、より実用的な便法として、水深方向に平均して濃度の(流下方向の)変化を拡散方程式を用いて巨視的に取扱う手法が多く用いられる。

沈降性のない物質の縦分散については、すでにいくつかの検討がなされており、沈降性粒子についても、水路底面に沈積して粒子が完全に再浮上する場合(水路系内で物質保存則が成立する場合)について、その分散係数を求め試みが発表されている²⁾。本報では、水路底に沈積した粒子の再浮上を考えない場合について、類似の現象の解析を試みた。

2. 基礎式

図1のように座標とり、粒子濃度をC、沈降速度をw_sとすと、保存則および境界条件は

$$\frac{\partial C}{\partial t} + \frac{\partial(UC)}{\partial x} = \frac{\partial}{\partial y} (D \frac{\partial C}{\partial y} + w_s C) \quad (1)$$

$$D \frac{\partial C}{\partial y} + w_s C = 0 \quad ; \quad (y = h) \quad (2.1)$$

$$\frac{\partial C}{\partial y} = 0 \quad ; \quad (y = y_0) \quad (2.2)$$

(y₀: u=0となるyの値)

となる。2次元等流状態を考え、流速分布に対数分布を仮定すると、次式となる

$$\frac{u}{u_*} = A + \frac{1}{K} \ln \frac{u_* y}{v} = \frac{1}{K} \ln \frac{y}{y_*} \quad (3)$$

$$D = \beta \cdot K u_* y (1 - y/h) \quad (4)$$

A=5.5, β=1.0, K=0.4とした。u_{*}:摩擦速度である。

ここで、濃度Cのx方向の変化は小さいとして、移動座標x_tで展開して1次の項までとり、勾配のあることによる補正項を附加して次式で表す。

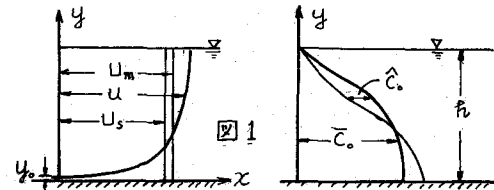
$$C(y,t) = \bar{C}(y,t)(1 + \alpha x_t) + \alpha \hat{C}(y,t) \quad (5)$$

ここで、α: 定数、 $\bar{C}(y,t)$ は次式の解である

$$\frac{\partial \bar{C}}{\partial t} = \frac{\partial}{\partial y} (D \frac{\partial \bar{C}}{\partial y} + w_s \bar{C}) \quad (6)$$

さらに、上式を変数分離してえられる常微分方程式の最低次の固有値λ₀および固有関数 $\bar{C}_0(y)$ を用いて、 $\bar{C}(y,t)$ を次式で表す

$$C(y,t) = \{ \bar{C}_0(y) \cdot (1 + \alpha x_t) + \alpha \hat{C}_0(y) \} e^{\lambda_0 t} \quad (7)$$



$$x_t = x - U_s t \quad (8)$$

$$U_s = \int_{y_0}^h u(y) \bar{C}_0(y) dy / \int_{y_0}^h \bar{C}_0(y) dy \quad (9)$$

とすると、(5), (8)式と(1)式どから

$$\frac{\partial \hat{C}}{\partial t} + \hat{U}_s \bar{C} = \frac{\partial}{\partial y} (D \frac{\partial \hat{C}}{\partial y} + w_s \hat{C}) \quad (10)$$

$$\hat{U}_s = U - U_s$$

となる。さらに、上式に(7)式を代入して

$$\frac{d}{dy} (D \frac{d \hat{C}_0}{d y} + w_s \hat{C}_0) = -\lambda_0 \hat{C}_0 + \hat{U}_s \bar{C}_0 \quad (11)$$

がえられる。このときの境界条件は以下の2式となる

$$D \frac{d \hat{C}_0}{d y} + w_s \hat{C}_0 = 0 \quad ; \quad (y = h) \quad (12.1)$$

$$d \hat{C}_0 / d y = 0 \quad ; \quad (y = y_0) \quad (12.2)$$

(11)式を整理して(13)式がえられる

$$\bar{y}(1-\bar{y}) \frac{d^2 \hat{C}_0}{d y^2} + (1-2\bar{y}+Z) \frac{d \hat{C}_0}{d y} + \lambda_0 \hat{C}_0 = \hat{U}_s \bar{C}_0 \quad (13)$$

$$\text{ここで } \bar{y} = y/h, Z = w_s/(K u_*), \hat{U}_s = \hat{U}_s/(K u_*) \quad (14)$$

(13)式の解は、(10)式と(6)式との類似性を利用して、(6)式の0次以上の固有関数で、(13)式の右辺を展開して求めた。

ここで、(1)式を(5)式および境界条件を考慮して、全水深にわたって平均して次式で表わす。

$$\frac{\partial C_m}{\partial t} + U_s \frac{\partial C_m}{\partial x} = \frac{1}{h} \int_{y_0}^h \hat{u}_s \hat{C} dy - \lambda_o C_m \quad (15)$$

$$C_m = \frac{1}{h} \int_{y_0}^h C(y) dy \quad (16)$$

(15)式右辺第1項が移流分散を生じる項で、分散係数 $D_L(z)$ は次式で表わされる。

$$-D_L(z) \frac{\partial C_m}{\partial x} = \frac{1}{h} \int_{y_0}^h \hat{u}_s \hat{C} dy \quad (17)$$

本報の場合、以上の検討から D_L は次式で求められる。

$$\frac{D_L}{h U_s} = -K \int_{\bar{y}_0}^1 \hat{u}_s \hat{C} dy \quad (18) \quad (\bar{y}_0 = y_0/h)$$

また、この場合の分散現象は次式で近似される（流下方向の乱流拡散は微小項として無視した）。

$$\frac{\partial C_m}{\partial t} + \bar{U}_s \frac{\partial C_m}{\partial x} = \frac{D_L}{K h U_s} \frac{\partial^2 C_m}{\partial z^2} - \lambda_o C_m \quad (19)$$

$$\bar{t} = t / (h / (K U_s)), \bar{x} = x / h, \bar{U}_s = U_s / (K U_s) \quad (20)$$

なら、水路底部においても(2.1)式が成立する場合には、(5)式のてにRouse分布を用いると、 \hat{C} が積分表示できて、次式がえられる。

$$\frac{D_L}{h U_s} = -K \frac{\sin(\pi z)}{\pi z} \int_0^1 \hat{u}_s \left(\frac{1-\bar{y}}{\bar{y}} \right)^2 d\bar{y} \times \int_0^{\bar{y}} \left(\frac{1-\bar{q}}{\bar{q}} \right)^2 \frac{d\bar{q}}{\bar{q}(1-\bar{q})} \times \int_0^{\bar{y}} \hat{u}_s \left(\frac{1-\bar{q}}{\bar{q}} \right)^2 d\bar{q} \quad (21)$$

上式は、Sumerによりモーメント法で導かれた式²⁾と一致する。

3. 計算結果

図2にZの値に対する $\bar{C}(y)$ を、図3に $\hat{C}(y)$ を示す。図2中の破線はRouse分布に対応する。図4は、(18)式で求めた D_L の値とZとの関係を示す。参考までに(21)式でえられた D'_L の値³⁾も記した。 D'_L に比べて、 D_L の値が小さめに出ているのは、Rouse分布に比べて、図2の $\bar{C}(y)$ の水深方向の変化が少ないためであろう。

図5は、計算結果の一応用例として、 $\bar{x} = 1$ で $C = 1$

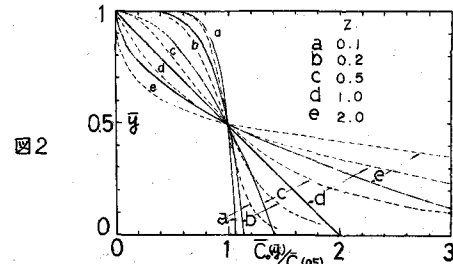


図2

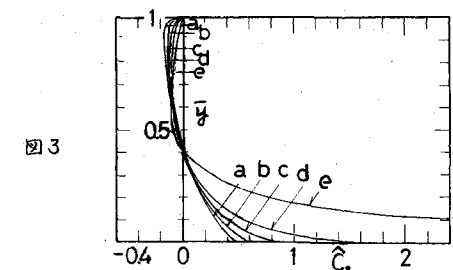


図3

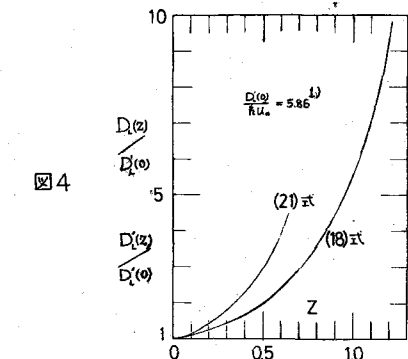


図4

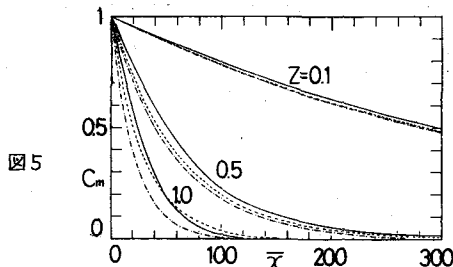


図5

として、定常状態における濃度分布を(1)式と(19)式で比較したものである。（一点鎖線は(19)式で分散項を無視したもの）図から Zの値が大きいほど、分散効果が著しい様子がわかる。（計算値は $R_e = U_s h / \nu = 30,000$ の場合の値である。）

参考文献

- 1) Elder, J.W.: J. Fluid Mech., vol. 15, 1959, pp.544~560
- 2) Sumer, B.M.: J. Fluid Mech., Vol. 65, 1974, pp. 11~28

3) 粟谷・藤崎：土木学会論文報告集, No.277号, 1978, pp. 133~136